



مرکز تحقیقات سیمان

ارزیابی عملکرد گرمایی و فرصت‌های ذخیره‌ی انرژی یک کارخانه سیمان در اندونزی

مترجمان:

مصطفی مهین رosta

شیما پیله ور

استاد راهنمای:

آقای دکتر اله وردی

مراجع:

M.G. Rasul, W. Widianto, B. Mohanty; "Assessment of the thermal performance and energy conservation opportunities of a cement industry in Indonesia", Applied Thermal Engineering 25 (2005) 2950-2965.

خرداد ۸۹

چکیده

مدلی ساده برای ارزیابی عملکرد گرمایی یک کارخانه سیمان، جهت بهبود بهرهوری کارخانه ارائه می‌شود. مدل بر اساس موازنی جرم، انرژی و اگزرسی توسعه می‌یابد و برای صنعت سیمان پرتلند در اندونزی به کار می‌رود. داده‌های به دست آمده از صنعت نشان می‌دهد که بازدهی عمل پخت و بازدهی قانون دوم ترمودینامیک برای سامانه‌ی کوره به ترتیب 52.07% و 57.07% می‌باشد. بازدهی خنک کن و بازدهی بازیافت گرما به ترتیب 47.75% و 51.2% می‌باشد. اتلاف حرارتی محاسبه شده در سامانه‌ی کوره 18.85% و برای سامانه‌ی خنک کن 1.9% است. اتلاف در خنک کن به طور عمدی به علت اتلاف همرفتی و تشبعی از خنک کن عایق نشده می‌باشد. بازگشت‌ناپذیری سامانه در حدود 20% است که به علت تبدیل انرژی شیمیایی به انرژی گرمایی می‌باشد. فرستهای ذخیره‌ی انرژی گرمایی شناسایی شدند. این تحقیق نشان می‌دهد که از طریق جایگزین کردن نفت-دیزل با گرمای اضافی بازیابی شده از خروجی کوره و خروجی خنک کن برای خشک کردن مواد خام و سوخت، و پیش‌گرم کردن هوای احتراق، کارخانه‌ی سیمان اندونزی می‌تواند در حدود $1 \times 10^5 / 264$ دلار در هر سال صرفه‌جویی کند.

فهرست علائم

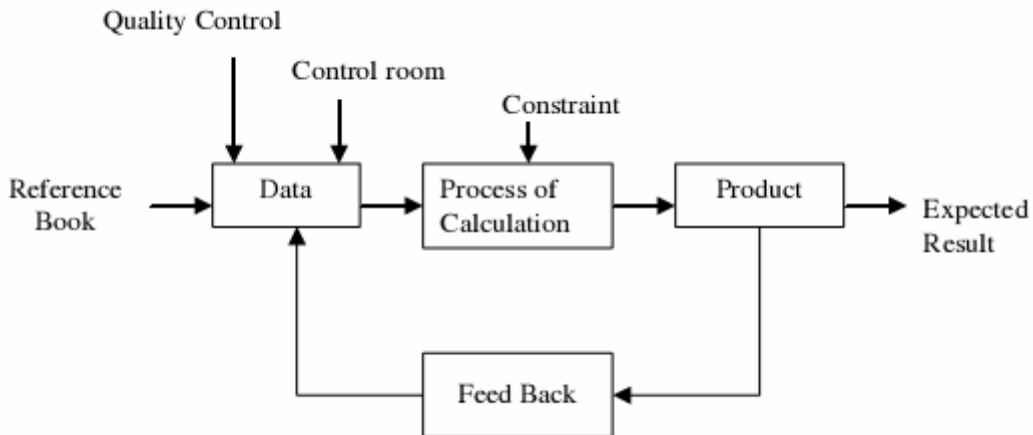
(kg)	هوای اولیه‌ی ورودی به ازای یک کیلوگرم کلینکر	A_1
(Nm ³)	حجم هوای ثانویه به ازای یک کیلوگرم کلینکر	A_2
(Nm ³)	حجم هوای ثالثیه به ازای یک کیلوگرم کلینکر	A_3
(kg)	جرم هوای خنک‌کننده به ازای یک کیلوگرم کلینکر	A_c
(Nm ³)	حجم گاز خروجی از خنک‌کن	A_s
(kJ/kg K)	گرمای ویژه‌ی هوا	C_a
(kJ/kg K)	گرمای ویژه‌ی دی‌اکسیدکربن	C_{CO_2}
(kJ/kg K)	گرمای ویژه‌ی غبار	C_d
(kJ/kg K)	گرمای ویژه‌ی سوخت	C_f
(kJ/kg K)	گرمای ویژه‌ی مواد خام	C_m
(kJ/kg K)	گرمای ویژه‌ی کلینکر	C_{cl}
(kJ/kg K)	گرمای ویژه‌ی بخار	C_{steam}
(kJ/kg)	آنالپی	H
(kJ/kg)	ارزش کالری پایین‌تر	LCV
(t/h)	تولید کلینکر در ساعت	m_{cl}
(kJ/kg)	ارزش حرارتی خالص	NHV
(kW)	نرخ انتقال حرارت از کوره	Q
(kJ)	گرمای نهان آب	r
(kJ/kg K)	آنتروپی	S
(°C)	دمای مواد خام ورودی	T_2
(°C)	دمای ورودی هوای اولیه	T_3
(°C)	دمای ورودی هوای خنک‌کن	T_4
(°C)	دمای کلینکر تولیدی	T_5
(°C)	دمای خروجی هوای خنک‌کننده	T_6
(°C)	دمای گاز خروجی از کوره	T_7
(°C)	دمای متوسط سطح کوره	T_8
(°C)	دمای محیط	T_a
(°C)	دمای هوای اولیه‌ی پیش‌گرم شده	T_{a1}
(°C)	دمای هوای ثانویه	T_{a2}
(°C)	دمای هوای ثالثیه	T_{a3}
(°C)	دمای هوای پیش‌گرم شده	T_{ac}

$(^{\circ}C)$	دمای کلینکر در ورودی خنک کن	T_{cl1}
$(^{\circ}C)$	دمای کلینکر در خروجی خنک کن	T_{cl2}
$(^{\circ}C)$	دمای سوخت	T_f
$(^{\circ}C)$	دمای گاز خروجی از پیش گرمکن سیکلونی	T_g
$(^{\circ}C)$	دمای سطح کوره	T_{ks}
$(^{\circ}C)$	دمای گاز خروجی از خنک کن	T_s
$(^{\circ}C)$	دمای آب	T_w
$(^{\circ}C)$	دمای مرجع	T_0
(kg)	جرم دی اکسید کربن	w_{CO_2}
(kg)	جرم غبار پخش شده	w_d
(kg)	صرف سوخت به ازای یک کیلوگرم کلینکر	w_f
(kg)	جرم خوراک خام خشک به ازای یک کیلوگرم کلینکر	w_m
$(/.)$	محتوای رطوبت خوراک خام	w_r
(kg)	جرم بخار حاصل از کائولن	w_{steam}
$(/.)$	درصد وزنی آب در سوخت	W
$(-)$	جزء مولی در هر کیلوگرم سوخت	X
(kJ)	گرمای تبخیر	Z

۱- مقدمه

سیمان یک صنعت به شدت مصرف کننده‌ی انرژی می‌باشد که انرژی در حدود ۴۰٪-۳۰٪ هزینه‌ی تولید را به خود اختصاص می‌دهد [۱]. مصرف بالای انرژی، این بخش را در یک وضعیت مهم از نقطه نظر اجتماعی- اقتصادی قرار می‌دهد. بدون شک انرژی یکی از ابزارهای مهم برای ارزیابی عملکرد گرمایی هر کارخانه‌ی سیمان می‌باشد. بهسازی بازدهی انرژی در صنعت سیمان، یک موضوع مهم پژوهشی می‌باشد [۲-۴]. یک تحلیل در مورد عملکرد گرمایی بایستی انجام شود تا به اهداف اصلی رسید که مانند حداکثر کردن تولید کارخانه، حداقل کردن مواد خام، حداقل کردن مصرف انرژی، و بهبود عملکرد در بار جزئی می‌باشد [۵].

قیدها و محدودیتها مانند کیفیت محصولات و سوخت و نگه داشتن دمای گاز خروجی از کوره در یک سطح مشخص، برای رسیدن به این اهداف باید لحاظ شود [۶]. کیفیت محصول به پارامترهای مختلفی مانند کیفیت مواد خام و زغال‌سنگ، میزان احتراق هوا و سامانه‌ی سرد کردن هوا و غیره بستگی دارد [۷]. می‌توان از طریق بهینه‌سازی مصرف انرژی کارخانه به این اهداف رسید. ضروری است تا ابزاری برای تحلیل انرژی کلی کارخانه بر حسب زمان واقعی توسعه داده شود. می‌توان از طریق لحاظ کردن سامانه‌ی کوره به عنوان یک "جعبه سیاه" و با به کار بردن مفهوم مدل ورودی- خروجی با استفاده از قانون اول و دوم ترمودینامیک به این هدف رسید. با به دست آوردن داده‌های موردنیاز از حسگرهای نصب شده در نقطه‌ی خاصی در کوره و لحاظ کردن واکنشهای شیمیایی مختلف و جهت جریانهای انرژی، می‌توان اتلافهای مختلف انرژی گرمایی و کیفیت محصول را تخمین زد. علاوه بر استفاده‌ی بهینه از انرژی برای عملیات کارخانه، به جنبه‌ی اقتصادی نیز که به سود بالاتر برای کارخانه و سود کلی برای کشور می‌انجامد باید توجه کرد. برنامه تحلیل عملکرد گرمایی می‌تواند در یک میکرو‌کامپیوتر نصب شود و الگوریتمهای بازگشتی می‌تواند برای کنترل پارامترهای عملیاتی مانند نرخ تهیه‌ی زغال‌سنگ، مقدار هوای اولیه و ثانویه، شدت تزریق مواد خام، و غیره به کار رود [۸]. اساس تحلیل عملکرد گرمایی در هر کارخانه سیمان، حتی در هر صنعت فرآیندی، می‌تواند از طریق نمودار نشان داده شده در شکل (۱) ارائه شود.



شکل (۱) نمودار اساس تحلیل عملکرد گرمایی.

صنایع فرآیندی باید تنوعی از معیارهای ذخیره‌ی انرژی و سامانه‌های بازیافت انرژی را برای رسیدن به سطوح بالاتر بازدهی انرژی تعریف کند. می‌توان از طریق به کار بردن سامانه‌های بازیافت انرژی به این هدف دست یافت [۹-۱۲]. توسعه‌ی سامانه‌های بازیابی انرژی در صنعت مهم است و نیازمند جایگزینی فرآیندهای صنعتی متداول با ساختار پیوسته می‌باشد. این توسعه در برخی از کشورهای توسعه یافته به منظور ذخیره‌ی انرژی علاوه بر کنترل آلودگی انجام شده است. اگرچه، این رویکرد در کشورهای در حال توسعه علی‌رغم نیازشان به ذخیره‌ی انرژی و کنترل آلودگی صنعتی آنها کاملاً تعریف نشده یا هنوز اجرا نشده است.

این مقاله یک مدل ساده را برای ارزیابی عملکرد گرمایی یک کارخانه سیمان ارائه می‌دهد. مدل، براساس موازنی جرم، انرژی و اگزرژی با استفاده از اصول قوانین اول و دوم ترمودینامیک توسعه می‌یابد. فرصت‌های ذخیره‌ی انرژی گرمایی نیز بررسی می‌شوند. برخی از اندازه‌گیریها می‌تواند در سطوح دولت، صنعت و کارخانه انجام شود تا بازدهی انرژی کارخانه‌ی موردنظر را افزایش دهد. این مطالعه مقدار صرفه‌جویی مالی را که از طریق جایگزینی نفت- دیزل صنعتی (IDO^۱) با گرمای اقلافی بازیابی شده از خروجی کوره و خنک کن در کارخانه سیمان انجام می‌شود، معین می‌کند.

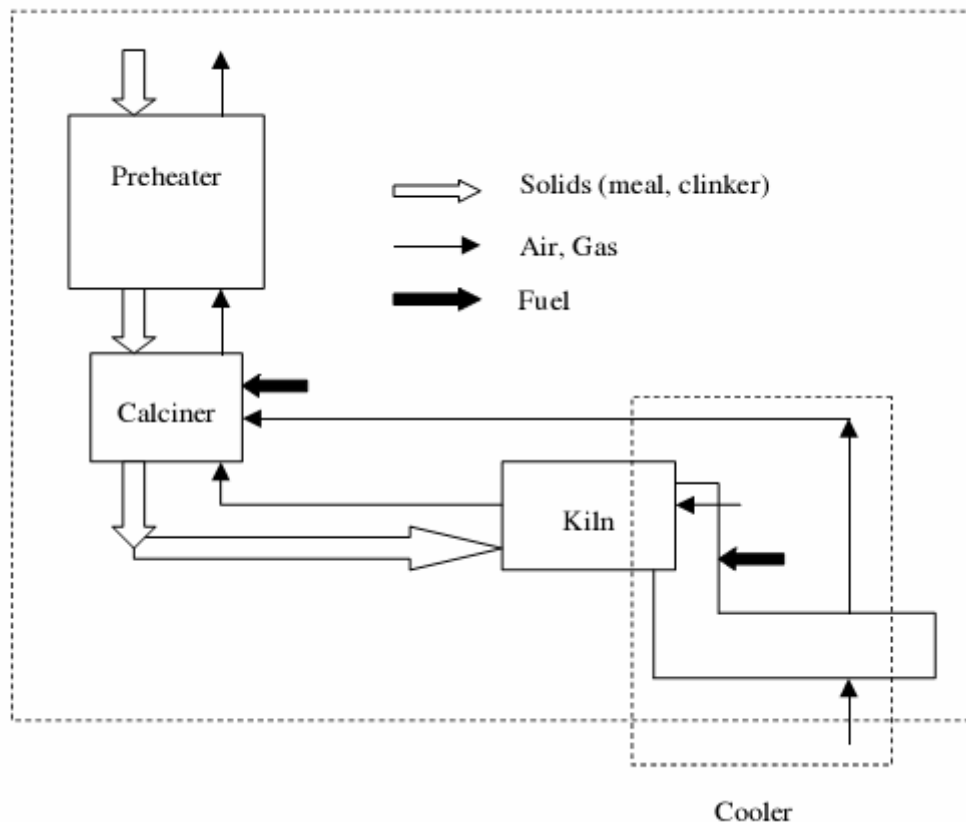
۲- فرآیند تولید سیمان و دستگاه‌ها

فرآیند کلیدی در تولید سیمان، عمل پخت مواد آسیاب شده در یک کوره‌ی دوار است. تولید کلینکر در چهار مرحله یعنی پیش‌گرم کردن سیکلونی، پیش‌کلسیناسیون، پخت و خنک کردن اتفاق می‌افتد.

سامانه‌ی کوره که برای مدل‌سازی لحاظ می‌شود، در شکل (۲) نشان داده شده است. خشک کردن مواد خام، پیش‌گرم کردن و بخشی از کلسیناسیون مواد خام در پیش‌گرمکن سیکلونی انجام می‌شود. با این حال، گرمای موردنیاز برای فرآیند پخت، توسط مشعل سوخت تولید می‌شود.

1-Industrial Diesel Oil

پیش‌گرمن کن سیکلونی بین گازهای اتلافی کوره و مواد خام فقط به عنوان مبدل حرارتی عمل می‌کند. کربن‌زدایی ذرات مواد خام در کلساینر انجام می‌شود. کربنی شدن^۱ به دمای گاز، زمان نگهداری و یکنواختی اندازه‌ی ذره بستگی دارد. خوراک کوره و سوخت به طور یکنواخت در جریان گاز پخش می‌شوند و به شدت به گردش درمی‌آیند، طوریکه اختلاط خوبی بین سه جزء مواد خام، اکسیژن و سوخت وجود دارد. واکنش شیمیایی و پخت مخلوط خام سیمان برای تولید کلینکر در کوره‌ی دوار اتفاق می‌افتد.



شکل (۲) نمودار سامانه‌ی کوره‌ی لحاظ شده برای مدل‌سازی.

بیشتر انرژی، بالغ بر ۸۵٪، در فرآیند تولید کلینکر در کوره مصرف می‌شود [۱]. چهار نوع خنک‌کن کلینکر در صنعت سیمان وجود دارد که عبارتنداز: خنک‌کن دوار، خنک‌کن سیارهای، خنک‌کن مشبك^۲ و خنک‌کن شفت. در این مدل، خنک‌کن مشبك برای خنک کردن کلینکر استفاده می‌شود. سپس کلینکر خنک شده همراه با گچ و اجزای دیگر، آسیاب شده و سیمان تولید می‌شود. در حدود ۱/۷ - ۱/۵ تن مواد خام برای تولید ۱ تن سیمان موردنیاز است که به نوع آسیاب بستگی دارد [۲،۱۳].

1-Carbonation
2-Planetary
3-Grate

۳- توسعه‌ی مدل

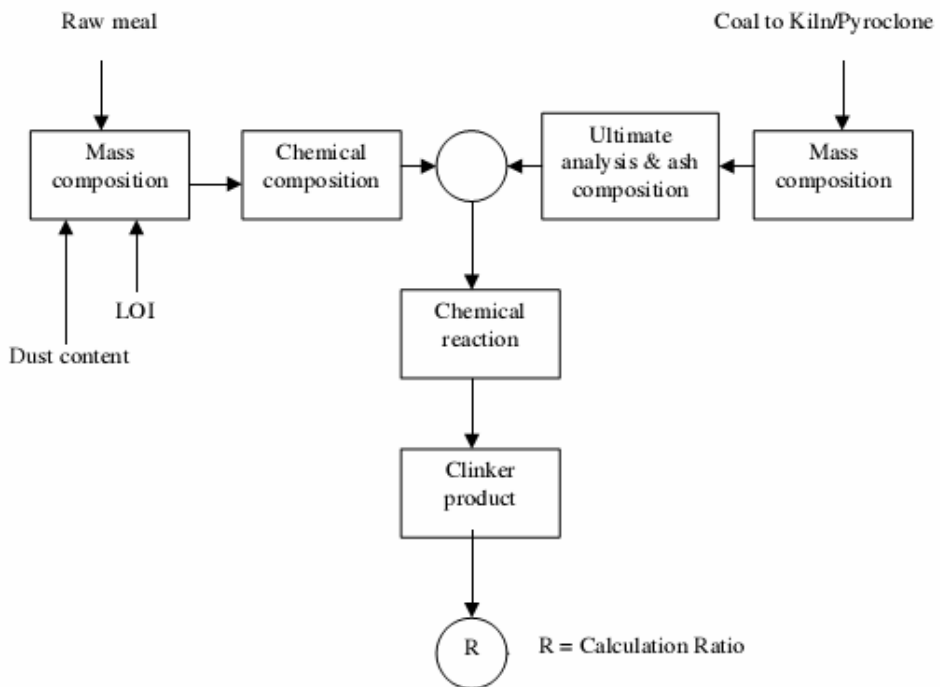
موازنۀ ی گرما برای هر سامانه‌ای می‌تواند اطلاعات مفیدی را از عملکرد حرارتی بیان کند و نشان می‌دهد که حرارت تولید شده در کجا و چگونه مصرف می‌شود. برای سهولت انجام محاسبات جرم، انرژی و اگزرژی برای به کار بردن اینها برای کنترل زمان واقعی سامانه، یک میکروکامپیوچر مجهر به نرم‌افزار صفحه گستردۀ استاندارد به کار گرفته شد. با ملاحظه‌ی رابطه‌ی زیر:

$$\text{Heat Input} = \text{heat output} + \text{accumulated loss}$$

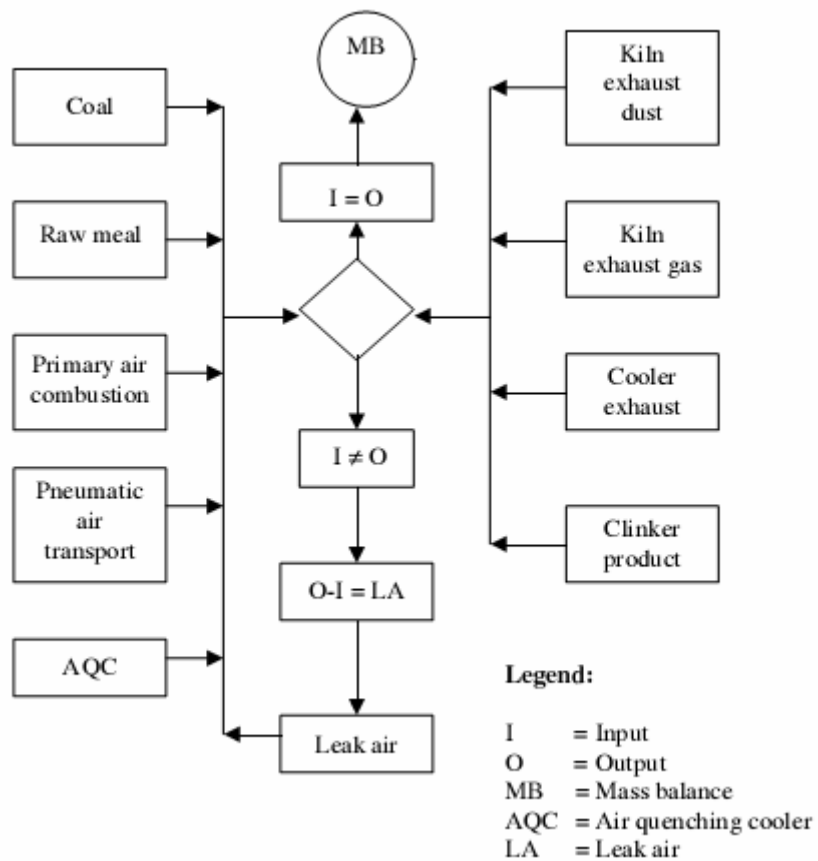
قسمت‌های ورودی و خروجی بوسیله‌ی جهت جریانها مشخص می‌شود؛ طوریکه جهت جریان به سمت داخل مرز معادل با ورودی و به سمت خارج مرز معادل با خروجی است. گرمای تبدیل، در مرز روی می‌دهد و اثر خالص به عنوان معیار استفاده می‌شود؛ طوریکه واکنش گرمای از LOI انجام می‌شود زیرا هیچ موازنۀ ی برای کل مقدار شامل LOI در زمانیکه ورودی جرم به گاز تبدیل می‌شود نمی‌تواند انجام شود. موازنۀ‌های جرم، انرژی و اگزرژی به صورت زیر هستند:

۱-۳- موازنۀ جرم

موازنۀ جرم برای محصول کلینکر و در طول مرز سامانه‌ی کوره انجام می‌شود که شامل پیش‌گرمکن، کوره و خنک‌کن می‌باشد و در شکل (۲) مشخص است. میزان نشتی هوا از اختلاف جرم ورودی و خروجی تخمین زده می‌شود. داده‌های ورودی یعنی ترکیب مواد خام، تجزیه‌ی نهایی سوخت، میزان غبار موجود در گاز خروجی، LOI، ترکیب گاز خروجی در پیش‌گرمکن سیکلونی برای انجام موازنۀ جرم استفاده شدند. شکل‌های (۳) و (۴)، نمودارهای جریانی هستند که اساس تولید کلینکر و محاسبات موازنۀ جرم را نشان می‌دهند.



شکل (۳) نمودار محاسبه‌ی تولید کلینکر.



شکل (۴) نمودار نشان دهنده‌ی اساس موازنیه‌ی جرم.

۳- موازنی ارزی

موازنی ارزی برای سامانه کوره و سامانه خنک کن به طور جداگانه انجام می‌شود.

۱-۲-۳ - سامانه کوره

به علت اینکه تخمین دقیق درصد واکنش شیمایی کامل شده قبل از ورود مواد خام به کوره، مشکل می‌باشد؛ پیش‌گرمه کن و خنک کن برای موازنی ارزی با هم درنظر گرفته شدند: معادله موازنی می‌تواند به صورت زیر نوشته شود:

$$Q_{ik} = Q_{ok} + L_k$$

که Q_{ik} گرمای ورودی به سامانه کوره به ازای هر کیلوگرم کلینکر، Q_{ok} گرمای خروجی از سامانه کوره به ازای هر کیلوگرم کلینکر و L_k اتلاف از سامانه کوره به ازای هر کیلوگرم کلینکر می‌باشد. گرماهای ورودی به سامانه کوره را می‌توان در جدول (۱) مشاهده کرد:

جدول (۱) گرماهای ورودی به سامانه کوره.

نماها	توضیح	فرمول استفاده شده	واحدها
Q_1	گرمای احتراق زغال سنگ	$w_f \cdot LCV$	kJ/kg
Q_2	گرمای محسوس زغال سنگ	$w_f \cdot C_f \cdot (T_f - T_a)$	kJ/kg
Q_3	گرمای محسوس مواد خام خشک شده	$w_m \cdot C_f \cdot (T_m - T_a)$	kJ/kg
Q_4	گرمای محسوس رطوبت در مواد خام	$w_r \cdot (T_m - T_a)$	kJ/kg
Q_5	گرمای محسوس هوای اولیه	$A_l \cdot C_a \cdot (T_{al} - T_a)$	kJ/kg
Q_6	گرمای محسوس هوای خنک کننده	$A_c \cdot C_a \cdot (T_{ac} - T_a)$	kJ/kg

گرمای ورودی به صورت زیر است:

$$Q_{ik} = Q_1 + Q_2 + Q_3 + Q_4 + Q_5 + Q_6$$

توضیح همهی Q ها در جدول (۱) آمده است.

گرمای خروجی به شکل زیر می‌باشد:

$$Q_{ok} = Q_7 + Q_8 + Q_9 + Q_{10} + Q_{11} + Q_{12} + Q_{13}$$

توضیح همهی Q ها در جدول (۲) آمده است.

جدول (۲) گرمای خروجی از سامانه کوره.

نماذها	توضیح	فرمول استفاده شده	واحدها
Q_7	گرمای محسوس مواد خام برای گرمادهی، واکنش تخریب، تشکیل کلینکر، غیره (جدول (۳))	موجود در جدول (۳)	kJ/kg
Q_8	گرمای محسوس کلینکر در خروجی خنک کن	$C_{cl} \cdot (T_{cl2} - T_a)$	kJ/kg
Q_9	گرمای محسوس گاز خروجی خنک کن	$A_s \cdot C_a \cdot (T_s - T_a)$	kJ/kg
Q_{10}	گرمای نهان رطوبت در مواد خام	$w_r \cdot r$	kJ/kg
Q_{11}	گرمای محسوس گاز خروجی از پیش گرمهن سیکلونی	$1/24(w_r + w_{steam})C_{steam}(T_g - T_a) + w_{CO_2} \cdot C_{CO_2}(T_g - T_a)$	kJ/kg
Q_{12}	گرمای محسوس غبار خروجی از کوره	$C_d \cdot (T_g - T_a) \cdot w_d$	kJ/kg
Q_{13}	اتلافهای همرفتی و تشعشع	$q / \{m_{cl}(T_{ks} - T_a)\}$	kJ/kg

$$Q_7 = Q_a + Q_b + Q_c - Q_d - Q_e - Q_f$$

جزئیات Q_7 در جدول (۳) آمده است.

بازدهی پخت در سامانه کوره می‌تواند به صورت زیر تعریف شود:

$$\eta_{burning} = \frac{(Q_7 - Q_4)}{(Q_1 + Q_2)}$$

جدول (۳) جزئیات Q_7 .

واحدها	فرمول استفاده شده	توضیح	نمادها
kJ/kg	$w_m \times C_m \times 900$	گرمای محسوس مواد خام برای $900^{\circ}C$ گرمادهی تا	Q_a
kJ/kg	$714(CaO) + 588(MgO) + 564(Al_2O_3)$	گرمای برای واکنش تخریب $MgCO_3, CaCO_3$ و کائلون	Q_b
kJ/kg	$(1/11 \times 1450) - (0.98 \times 900)$	گرمای محسوس مواد خام برای گرمادهی از $900^{\circ}C$ تا $1450^{\circ}C$	Q_c
kJ/kg	۴۱۸/۶۸	گرمای تشکیل کلینکر	Q_d
kJ/kg	$187(CaO) + 262(MgO) + 159(Al_2O_3)$	گرمای محسوس CO_2 و بخار در $900^{\circ}C$	Q_e
kJ/kg	$1/11 \times 1450$	گرمای محسوس هوای کلینکر در $1450^{\circ}C$	Q_f

توجه: گرمای ویژه کلینکر در $900^{\circ}C$ برابر $900^{\circ}C$ و در $1450^{\circ}C$ برابر $1/11 kJ/kg$ است.

۳-۲-۲- سامانه‌ی خنک‌کن

برای سامانه‌ی خنک‌کن به طور جداگانه موازنی انرژی درنظر گرفته می‌شود تا بازدهی خنک‌کن و مقدار انرژی که می‌تواند از خنک‌کن بازیابی شود برآورد شود. گرمای ورودی به خنک‌کن به صورت زیر است:

$$Q_{ic} = Q_h + L_6$$

که $Q_h = C_{cl} \cdot (T_{cl} - T_a)$ گرمای محسوس کلینکر از کوره به خنک‌کن بر حسب kJ/kg می‌باشد. گرمای خروجی از خنک‌کن طبق رابطه زیر به دست می‌آید:

$$Q_{oc} = Q_{pk} + Q_{pc} + Q_8 + Q_9$$

که Q_{pk} گرمای بازیافتی از هوای ثانویه کوره و Q_{pc} گرمای بازیافتی از هوای ثالثیه پیروکلرون^۱ از خنک‌کن بر حسب kJ/kg می‌باشد:

$$Q_{pk} = A_2 \cdot C_a \cdot (T_{a2} - T_a)$$

$$Q_{pc} = A_3 \cdot C_a \cdot (T_{a3} - T_a)$$

راندمان خنک کن به صورت زیر تعریف می‌شود:

$$\eta_{cooler} = \frac{A - B}{A} = \frac{Q_h + Q_p - Q_6}{Q_h}$$

که A محتوای گرمای کلینکر از کوره به خنک کن و B جمع اتلافهای گرما در خنک کن می‌باشد.
بازدهی بازیافت هوای ثانویه و ثالثیه می‌تواند به صورت زیر ارائه شود:

$$\eta_{cooler} = \frac{Q_p}{Q_h + Q_6}$$

۳- موازنی اگزرسی

حداکثر کار مفیدی که می‌تواند از یک سامانه در حالت مشخص (یعنی فشار P_1 و دمای T_1) به دست آید، زمانی است که سامانه در یک محیط معین (یعنی فشار مرجع P_0 و دمای مرجع T_0) عمل کند که اگزرسی نامیده می‌شود. منابع ورودی اگزرسی به سامانه کوره عبارت است از: زغالسنگ، مواد خام، هوای اولیه و هوای خنک کننده.

منابع خروجی اگزرسی نیز شامل اگزرسی کلینکر، خروجی خنک کن، خروج کوره، انتقال حرارت در سامانه کوره و واکنشهای شیمیایی می‌باشد.

این منابع به ترتیب در جداول (۴) و (۵) تعریف شده‌اند.

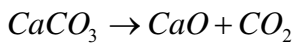
جدول (۴) اگزرسی ورودی به سامانه کوره.

نمادها	توضیح	فرمول استفاده شده	واحدها
a_1	اگزرسی شیمیایی زغالسنگ	$NHV + Z \cdot W$	kJ/kg
a_2	اگزرسی خوراک خام ورودی	$X_i \{(H_{T_2} - H_{T_0}) - T_0(S_{T_2} - S_{T_0})\}$	kJ/kg
a_3	اگزرسی هوای اولیه ورودی	$X_i \{(H_{T_3} - H_{T_0}) - T_0(S_{T_3} - S_{T_0})\}$	kJ/kg
a_4	اگزرسی هوای خنک کننده برای خنک کن	$X_i \{(H_{T_4} - H_{T_0}) - T_0(S_{T_4} - S_{T_0})\}$	kJ/kg

جدول (۵) اگررژی خروجی از سامانه‌ی کوره.

نماها	توضیح	فرمول استفاده شده	واحدها
a_5	اگررژی کلینکر	$X_i \{(H_{T_5} - H_{T_0}) - T_0(S_{T_5} - S_{T_0})\}$	kJ/kg
a_6	اگررژی خروجی از خنک‌کن	$X_i \{(H_{T_6} - H_{T_0}) - T_0(S_{T_6} - S_{T_0})\}$	kJ/kg
a_7	اگررژی خروجی از کوره	$X_i \{(H_{T_7} - H_{T_0}) - T_0(S_{T_7} - S_{T_0})\}$	kJ/kg
a_8	اگررژی انتقال حرارت در سطح کوره	$(1 - T_0/T_8)Q_{13}$	kJ/kg
a_9	اگررژی به علت واکنش شیمیایی	* توضیح در زیر	kJ/kg

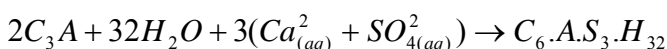
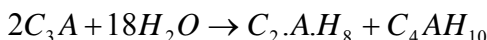
* خوراک خام در سامانه‌های پیش‌گرمکن گرم می‌شود و واکنش تجزیه‌ی کربنات کلسیم به اکسید شروع می‌شود،



يعنى:

خوراک خام در طول کوره پیش می‌رود و گرم می‌شود و واکنش بین CaO و عناصر دیگر انجام می‌شود تا اجزای تشکیل دهنده‌ی کلینکر در دمای $1450^\circ C$ تشکیل شود. اجزای اصلی تشکیل دهنده‌ی کلینکر، آلیت (C_3S یا C_3A)، بلیت ($3CaO \cdot Al_2O_3$ یا C_2S یا $2CaO \cdot SiO_2$)، آلومینات ($3CaO \cdot SiO_2$ یا C_4AF) و فریت ($4CaO \cdot Al_2O_3 \cdot Fe_2O_3$) می‌باشند. واکنش‌های اصلی فازهای کلینکر، که گرمaza هستند مطابق زیر هستند

: [۱۵، ۱۴]



در اینجا، $C.S.H$ یک هیدروزئل آمورف است که ترکیب متغیری بر حسب نسبت H_2O/SiO_2 و Ca/Si دارد. همچنین باید توجه کرد که C_4AF واکنش‌های مشابهی با C_3A دارد. یعنی $C_6(A,F)S_3H_{32}$ تولید می‌کند. مقدار کار مفید (کار خالص) که از این واکنش‌های شیمیایی به دست می‌آید به عنوان "اگررژی به علت واکنش‌های شیمیایی" نامیده می‌شود.

عموماً موازنی اگررژی سامانه‌ی کوره می‌تواند به صورت زیر نوشته شود:

$$a_i = a_0 + I$$

که a_i کل اگررژی ورودی، a_0 کل اگررژی خروجی و I بازگشت‌ناپذیری کل می‌باشد. همه‌ی اینها بر حسب kJ/kg fuel می‌باشند.

اگررژی ورودی (جدول (۴)) به صورت زیر است:

$$a_i = a_1 + a_2 + a_3 + a_4$$

توضیح‌ها در جدول (۴) آمده است. اگررژی خروجی (جدول (۵)) به صورت زیر است:

$$a_0 = a_5 + a_6 + a_7 + a_8 + a_9$$

بازدهی قانون دوم برای تولید کلینکر مطابق زیر تعریف می‌شود:

$$\eta_{2nd-law} = \frac{a_5 + a_9}{a_i}$$

۴- کاربرد مدل

مدل برای ارزیابی عملکرد یک کارخانه سیمان پرتلند در اندونزی استفاده شد. سیمان پرتلند محتوی حداقل ۹۵٪ کلینکر می‌باشد، در حالیکه انواع دیگر (سیمانهای مخلوط، پوزولانی و اسلگ^۱) محتوی کلینکر کمتر معمولاً ۶۵٪ می‌باشند [۱]. فرضیات زیر در طول جمع آوری داده‌ها در نظر گرفته شد:

- عملیات کارخانه در حالت پایدار است.
- شرط مرزی حول کوره، پیش‌گرمکن سیکلونی و خنک‌کن ثابت است.
- دبی محصول کلینکر با دبی شارژ شده در هر زمانی برابر است.
- موازنه‌های گرما مطابق JIS R030 [۱۶] با یک سری اصلاحات منطقی تحلیل شدند.

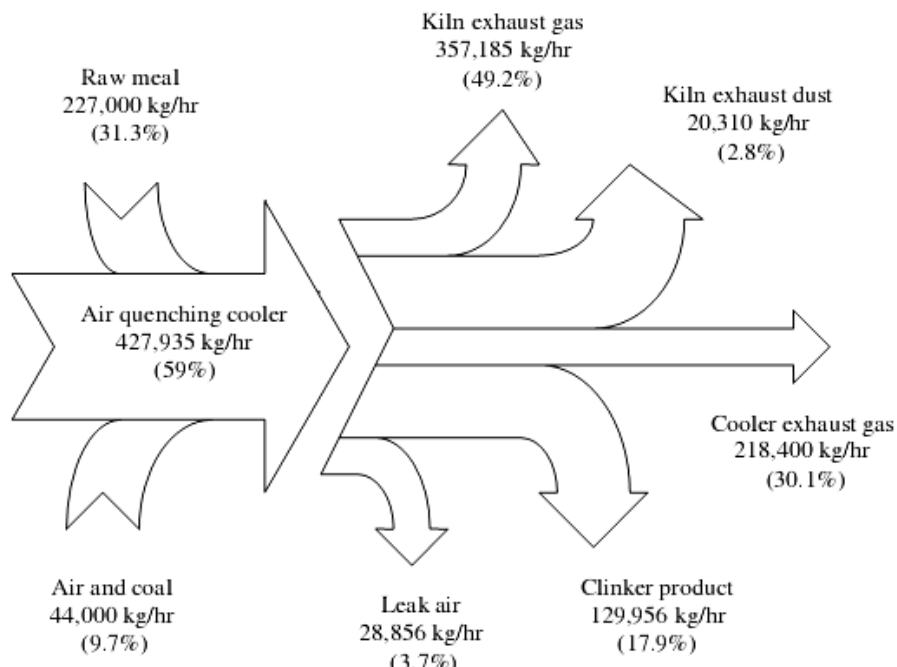
دماهی مرجع همان دماهی محیط $C = 25^{\circ}$ است یعنی گرمای محسوس دبی‌های جرمی در $C = 25^{\circ}$ برابر صفر است. گرمای تبدیل (احتراق، تبخیر، تشکیل) نیز بر اساس دماهی مرجع هستند. تمام فرمول‌بندیهای ریاضی فرآیندهای احتراق سوخت بر اساس عملیات حالت پایدار و استوکیومتری کارخانه محاسبه شدند. داده‌های موردنیاز برای تحلیل از منابع زیر به دست آمدند:

- آزمایشگاه کنترل کیفیت (ترکیب خوراک خام، تجزیه‌ی زغال‌سنگ، کیفیت کلینکر، تحلیل احتراق و LOI).
- اتاق کنترل (ترکیب خروجی، تمام دماها و فشارها، و اندازه‌گیری جریان).
- کتابهای مرجع (گرمای نهان و محسوس مواد، خواص ترمودینامیکی و واکنشهای شیمیایی).

محاسبات موازنه‌ی جرم، اگزرژی و انرژی با استفاده از داده‌های به دست آمده صنعت اندونزی، در زیر بحث می‌شوند.

۱-۴- موازنه‌ی جرم

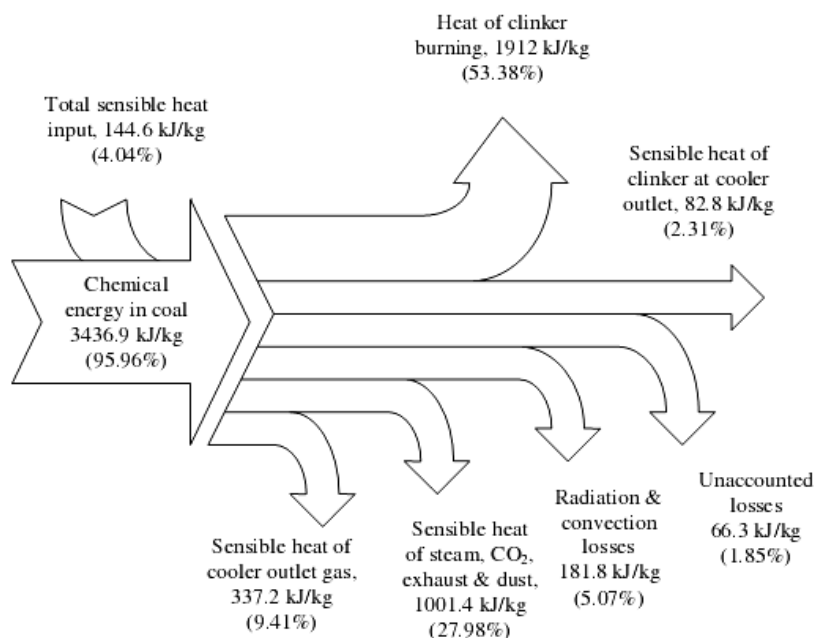
شکل (۵) نمودار دبی جرمی (بر حسب kg/h) سامانه‌ی کوره را نشان می‌دهد. کل جرم ورودی به کوره ۶۹۸۹۳۵ kg/h بود که شامل خوراک خام، هوا و زغال‌سنگ است. هوای نشتنی به مقدار ۲۶۸۵۶ kg/h محاسبه شد که تقریباً ۳/۷٪ کل دبی جرمی می‌باشد.



شکل (۵) نمودار دبی جرمی سامانه‌ی کوره.

۴- موازنی انرژی

شکل (۶) نمودار جریانی انرژی (بر حسب kg/h) و همچنین تفکیک مصرف انرژی سامانه‌ی کوره به (%) را نشان می‌دهد. نیاز کارخانه‌ی سیمان به انرژی گرمایی ویژه در حدود 3436.9 kJ/kg بود که احتراق زغال‌سنگ و 144.6 kJ/kg کل گرمای محسوس بود.

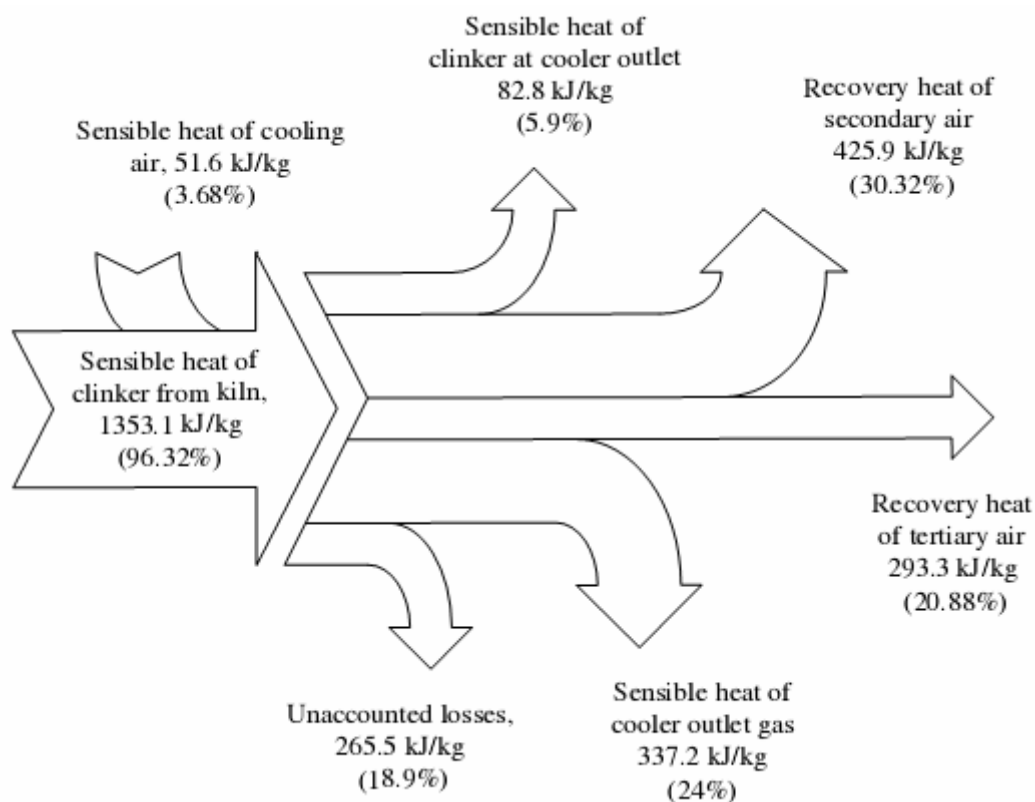


شکل (۶) نمودار جریان انرژی سامانه‌ی کوره.

کل گرمای محسوس شامل $77/57 \text{ kJ/kg}$ ۴/۹۶ گرمای محسوس زغال سنگ، $4/27 \text{ kJ/kg}$ ۴/۲۷ گرمای محسوس رطوبت در خوراک خام، $6/2 \text{ kJ/kg}$ ۶/۲ گرمای محسوس هوای اولیه و $51/63 \text{ kJ/kg}$ ۵۱/۶۳ گرمای محسوس هوای خنک کننده می‌باشد. اتلاف محاسبه نشده‌ی سامانه‌ی کوره $1/85 \text{ %}$ بود. حدود $100/4 \text{ kJ/kg}$ ۱۰۰/۴ گرما از طریق هوای خروجی به بیرون دفع می‌شود که گرمای محسوس گاز خروجی از احتراق خود آن $60/3 \text{ kJ/kg}$ ۶۰/۳ می‌باشد؛ که حدود دو سوم گرمای دفع شده است.

اگرچه، این گرما به طور کامل تلف نمی‌شود؛ از اینرو گاز خروجی با دمای بیش از 300°C می‌تواند برای پیش‌گرم کردن و خشک کردن مواد خام به کار رود و بعد از خنک کردن کلینکر به محیط دفع می‌شود. اتلافها از کوره‌ی عایق شده در حدود 5% است.

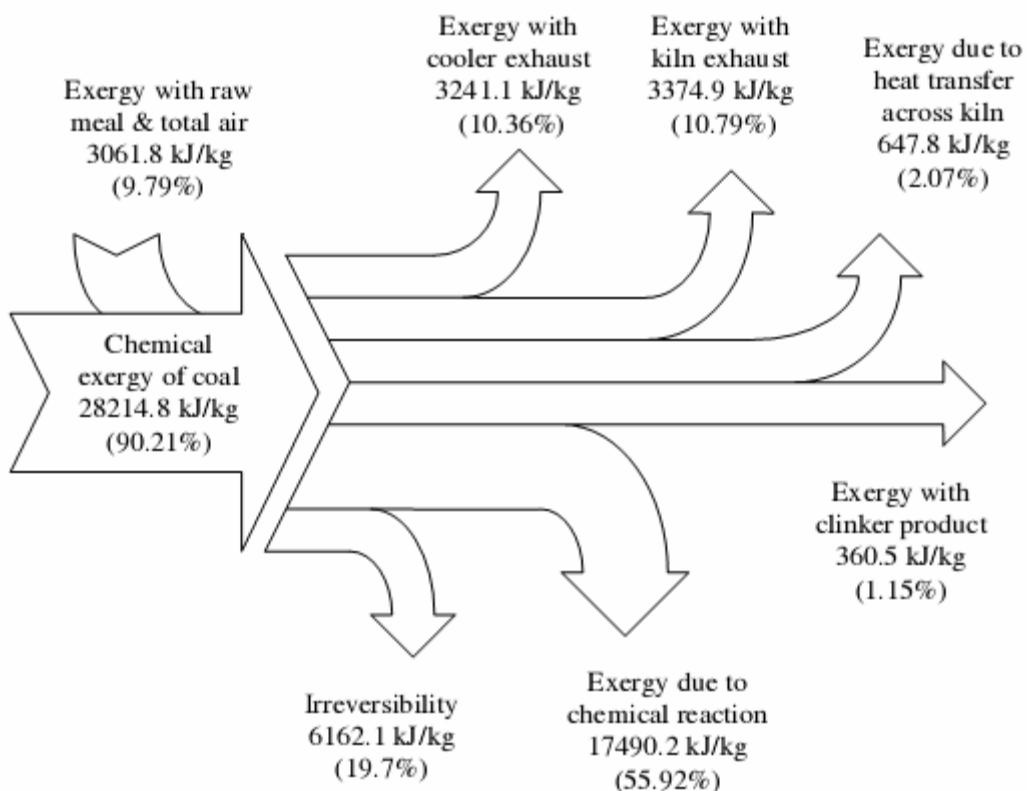
شکل (۷) نمودار جریان انرژی سامانه‌ی کوره را نشان می‌دهد. اگرچه، گرمای محسوس کلینکر $1353/1 \text{ kJ/kg}$ است که فقط $425/93 \text{ kJ/kg}$ می‌تواند از هوای ثانویه تزریق شده به کوره و $293/3 \text{ kJ/kg}$ از طریق هوای ثالثیه تزریق شده به پیروکلون بازیابی شود. اتلاف محاسبه نشده‌ی خنک کن نسبتاً بالا و حدود 19% است که به طور عمده به علت اتلافهای همرفتی و تشعشع از خنک کن عایق نشده می‌باشد. به عبارت دیگر، اتلاف به علت گرمای محسوس خروجی خنک کن 24% است. بازدهی پخت سامانه‌ی کوره $7/52 \text{ %}$ و بازدهی سامانه‌ی خنک کن $47/75 \text{ %}$ می‌باشد. بازدهی بازیافت گرمای سامانه‌ی خنک کن $51/2 \text{ %}$ می‌باشد.



شکل (۷) نمودار جریان انرژی سامانه‌ی خنک کن.

۴- موازنی اگزرسی

شکل (۸) نمودار جریان اگزرسی (بر حسب kJ/kg) به همراه تفکیک جریان اگزرسی (بر حسب٪) سامانه کوره را نشان می‌دهد. منابع ورودی اگزرسی عبارتنداز: زغالسنگ، خوراک خام و هوای بازدهی قانون دوم و بازگشت ناپذیری سامانه به ترتیب 70.57% و 19.70% می‌باشد. اتلاف اگزرسی در احتراق به علت تبدیل انرژی شیمیایی به انرژی گرمایی می‌باشد.



شکل (۸) نمودار جریان اگزرسی سامانه کوره.

۵- فرصتهای ذخیره‌ی انرژی

یکی از اهداف ذخیره‌ی انرژی این است که استفاده از انرژی ثانویه را تا حد ممکن گسترش و نیاز به خرید اولیه‌ی انرژی را کاهش دهد. فرصتهای ذخیره در هر صنعت فرآیندی می‌تواند به سه دسته، یعنی، معیارهای کوتاه مدت، معیارهای میان مدت و معیارهای بلند مدت [۱۷] تقسیم شود. این دسته‌ها مختصراً در زیر توضیح داده می‌شوند.

معیارهای کوتاه مدت، تقاضاهای فناوریهای موجود می‌باشند که عموماً نیاز به سرمایه‌گذاریهای بزرگ ندارند. این بررسیها شامل تمرینهای مدیریتی هستند:

- خاموش کردن موتورها و گرمکن‌هایی که استفاده نمی‌شوند.
- تشویق به فعالیت در مورد حفاظت از منبع انرژی.

• برنامه‌های آموزشی برای تجهیزاتی که انرژی زیادی مصرف می‌کنند.

معیارهای میان مدت، شامل گراییش به سمت فناوریهای جدید و پربازده می‌باشد. هدف این مرحله این است که مصرف انرژی و بازیابی را بدون سرمایه‌گذاری قابل ملاحظه‌ای کاهش دهیم. ذخیره‌ی انرژی می‌تواند از طریق بهسازی عملیات و تکنیکهای نگهداری و تعمیر، اطمینان از پیوستگی فرآیند، بهسازی شرایط درون فرآیند انجام شود. در نهایت، بهسازیها در محصول می‌تواند کمک دیگری در ذخیره‌ی انرژی باشد.

معیارهای بلند مدت، نیازمند سرمایه‌گذاریهای زیاد و نوآوریهای جدید می‌باشد. این امر شامل سرمایه‌گذاری در اتصالات فرآیند می‌باشد. این مرحله می‌تواند مجموعه‌ای از معیارهای مختلف باشد که در زیر شرح داده می‌شود.

- مدیریت و پیوستگی دو منبع انرژی، که بهترین مثال آن تولید همزمان گرما و انرژی الکتریکی می‌باشد [۱۸-۲۲].

• بهینه‌سازی ارتباط بین تجهیزات که به بهره‌وری بهتر از محصولات واسطه و انرژی کمک می‌کند.

• اتوماسیون متتمرکز با اتصالات کامل در کل کارخانه که براساس تشخیص‌های اولیه عملیات واقعی تجهیزات مختلف و الگوریتم بهینه‌سازی توسعه یافته قرار دارد.

• اصلاحات یا طراحی دوباره‌ی فرآیندها. فناوریهای قدیمی‌تر با فناوریهای جدید جایگزین می‌شوند، که عامل مهمی برای مصرف انرژی ویژه‌ی پایین‌تر می‌باشد.

در این مطالعه، فقط معیارهای ذخیره‌ی انرژی گرمایی ارائه می‌شود. اساساً تمام جریانهای خروجی از سامانه‌ی کوره می‌تواند پتانسیل بازیابی گرمای اتلافی را داشته باشد. منابع عمده‌ی ذخیره‌ی انرژی می‌تواند شامل گرمای محسوس گاز خروجی از کوره، خنک‌کن، گرمای نهان گازهای خروجی، و گرمای تشعشع کوره و خنک‌کن باشد. گرمای اتلافی بازیافت شده می‌تواند برای خشک کردن مواد خام و زغال‌سنگ و پیش‌گرم کردن هوا احتراق به عنوان هوای ثانویه برای کوره و هوای ثالثیه برای پیروکلون به کار رود.

۱-۵- بازیافت گرما از خروجی کوره

محاسبه‌ی صرفه‌جویی در انرژی و هزینه از طریق بازیافت گرمای اتلافی خروجی از کوره برای خشک کردن مواد خام استفاده شده در خشک‌کن خاکرس و خشک‌کن بشکه‌ای^۱ در جدول (۶) آمده است. کارخانه حدود ۱۴۸۵۸۶ تن خاکرس (خشک شده) و ۱۲۲۱۸۵۷ تن مخلوط مواد خام (خشک شده) در هر سال استفاده می‌کند. بنابراین، مقدار کل گرمای استفاده شده در سال، برای تبخیر آب در خشک‌کن بشکه‌ای و خشک‌کن خاکرس برابر با $J = 10^{11} \times 934 / 1$ می‌باشد. قبل از اینکه کارخانه از گرمای اتلافی از کوره استفاده کند، از نفت دیزل صنعتی (IDO) برای خشک کردن استفاده می‌کرد. ویژگیهای IDO به صورت زیر است:

جدول (۶) صرفه‌جویی در انرژی و هزینه از طریق بهره‌برداری از گرمای اتلافی از کوره و خروجی از خنک‌کن.

توضیح	خشک کن خاکرس	خشک کن بشکه‌ای
محتوای رطوبت ورودی	%۱۲/۵	(حداکثر مقدار) %۱۲/۵
محتوای رطوبت خروجی	%۷	%۷
دماهی ورودی	۲۰ °C	۲۰ °C
دماهی خروجی	۸۰ °C	۸۰ °C
آب تبخیرشده	تن ۶۷۲۰۰	تن ۱۴۸۵۸۶ (۱۲/۷-۷) = ۸۱۷۵
گرمای محسوس آب	۱/۶۸۸×۱۰ ^{۱۱} kJ	۲/۰۵۴×۱۰ ^۹ kJ
گرمای تبخیر	۲۳۱۵/۳ kJ/kg water	۲۳۱۵/۳ kJ/kg water
گرمای نهان آب	۱/۵۵۳×۱۰ ^{۱۱} kJ	۱/۸۹۳×۱۰ ^۹ kJ

وزن مخصوص، بنابراین $NHV = \frac{3}{977} \times 10^4 \text{ kJ/kg}$ نفت دیزل صنعتی برابر با $\frac{3}{898} \times 10^4 \text{ kJ/kg}$ می‌شود. در نتیجه، مقدار IDO استفاده شده در خشک‌کن به صورت زیر به دست می‌آید:

$$1/934 \times 10^{11} \text{ kJ} / 3/898 \times 10^4 \text{ kJ/l} = 49615191$$

هزینه‌ی IDO در اندونزی ۲۰۰ روپیه در هر لیتر است. بنابراین، صرفه‌جویی مالی می‌تواند در حدود $9/923 \times 10^4$ روپیه باشد که معادل ۱۱۸۳۴۲ دلار آمریکا در هر سال است که با نرخ تبدیل کنونی 8385 روپیه به دست آمده است.

۵-۲- بازیابی گرما از خروجی خنک‌کن
مقدار قابل ملاحظه‌ای گرما در خروجی خنک‌کن اتلاف می‌شود که می‌تواند برای پیش‌گرم کردن هوای اولیه ورودی به سامانه‌ی کوره استفاده شود. داده‌های ورودی به صورت زیر هستند:

- هوای اولیه ورودی به کوره $= 165 \text{ m}^3 / \text{min}$ در $40^\circ C$
- هوای اولیه ورودی به پیروکلون $= 84 \text{ m}^3 / \text{min}$ در $40^\circ C$

گرمای محسوس هوای بدون پیش‌گرم کردن:

$$\text{ظرفیت گرمایی هوای} = 10 \text{ kJ/kg}$$

$$\text{وزن مخصوص هوای در} = 40^\circ C = 1/112 \text{ kg/m}^3$$

$$\text{دماهی ورودی} = 25^\circ C$$

$$\text{دماهی خروجی} = 40^\circ C$$

$$\text{گرمای محسوس هوا} = 1 / 983 \times 10^9 \text{ kJ}$$

اگر هوای پیش‌گرم شده استفاده شود، گرمای محسوس افزایش خواهد یافت:

$$\text{ظرفیت گرمای هوا} = 1 / 10 \text{ kJ/kg}$$

$$\text{وزن مخصوص هوا در } C = 220 \text{ } ^\circ \text{C} / 73 \text{ kg/m}^3$$

$$\text{دمای ورودی} = 25 \text{ } ^\circ \text{C}$$

$$\text{دمای خروجی} = 40 \text{ } ^\circ \text{C}$$

$$\text{تعداد روزهای کاری} = 330 \text{ روز در سال}$$

$$\text{گرمای محسوس هوا} = 7 / 0.34 \times 10^9 \text{ kJ}$$

تفاوت در گرمای محسوس ورودی برابر با $10^9 / 836 \times 6$ است. اگر این گرمای محسوس توسط زغال‌سنگ فراهم شود، با فرض اینکه NHV زغال‌سنگ برابر با $10^9 / 554 \times 2$ و قیمت آن برابر با $30 \text{ US\$/ton}$ باشد، صرفه‌جویی مالی بوسیله‌ی کاهش مصرف زغال‌سنگ در سال برابر با $8030 \text{ US\$}$ خواهد بود.

۶- نتیجه‌گیری

یک تحلیل از عملکرد گرمایی براساس موازنی جرم، انرژی و اگزرزی سامانه‌های کوره و خنک‌کن رائمه شد. بازده‌های قانون اول و دوم ترمودینامیک سامانه‌ی کوره به ترتیب $7 / 52 / 0.7$ و $0.57 / 0.7$ ٪ می‌باشد. بازده‌ی خنک‌کن و بازیافت بازیابی گرمایی به ترتیب $0.51 / 2 / 47 / 75$ ٪ و $0.51 / 2 / 47 / 75$ ٪ است.

بازگشت‌ناپذیری سامانه در حدود 20% بود. علت اصلی بازگشت‌ناپذیری فرآیند، تبدیل انرژی شیمیایی سوخت (زغال‌سنگ) به انرژی گرمایی می‌باشد. تحلیل عملکرد گرمایی مهم است و می‌تواند به عنوان مقدمه‌ای برای رسیدن به اهدافی مانند حداکثر کردن تولید کارخانه، حداقل کردن مواد خام و مصرف انرژی در هر کارخانه سیمان، حتی هر فرآیند یا صنعتی به کار رود.

معیارهای ذخیره‌ی انرژی در کارخانه مذکور، مشخص می‌باشد، به خصوص در کشورهای در حال توسعه برای: (الف) استفاده‌ی بهینه از انرژی در صنعت، (ب) کاهش هزینه‌ی انرژی به ازای واحد تولید محصول، (ج) کاهش آلودگی محیط که از طریق صنایع ایجاد شده است.

همچنین باید از سامانه‌های بازیافت انرژی اتصالی در طراحی صنایع جدید به منظور حداقل کردن مصرف انرژی، و بهسازی کیفیت محصول کمک گرفته شود. این مطالعه نشان می‌دهد که فقط با جایگزین کردن نفت دیزل صنعتی (IDO) برای خشک کردن مواد خام و زغال‌سنگ، و پیش‌گرم کردن هوای احتراق با گرمای بازیافتی از کوره و خروجی خنک‌کن، یک کارخانه سیمان در اندونزی می‌تواند حدود $10^9 / 264 \times 1$ در سال صرفه‌جویی مالی کند.

منابع

- [1] L. Szabo, I. Hidalgo, J.C. Ciscar, A. Soria, P. Russ, Energy consumption and CO₂ emissions from the world cement industry, European Commission Joint Research Centre, Report EUR 20769 EN, June 2003.
- [2] International Energy Agency, The reduction of greenhouse gas emission from the cement industry, IEA Greenhouse Gas R&D Programme, 1999.
- [3] E. Worell, N. Martin, L. Pryce, Potentials for energy efficiency improvements in the US cement industry, Energy 25 (2000) 1189–1214.
- [4] F. Liu, M. Ross, S. Wang, Energy efficiency of China's cement industry, Energy 20 (7) (1995) 669–689.
- [5] L. Ben-dor, Thermal methods, Advances in cement technology by SN Ghosh, Department of Inorganic and Analytical Chemistry, The Hebrew University of Jerusalem, Israel, 1981.
- [6] K. Yoshida, Thermodynamic analysis of energy flows and its applications to cement industry, Energy Conservation of Cement Industries, University of Tokyo, Japan, 1982.
- [7] O. Labahn, Cement Engineers Handbook, fourth ed., Bauverlag GMNH, 1983.
- [8] D.W. Haspel, High Level Kiln Control, Process Technology of Cement Manufacturing, VDZ, Greenhithe, 1985.
- [9] Japan Iron and Steel Federation, 2003. Available from: <<http://www.jisf.or.jp/energy>>.
- [10] EETD, Energy Efficiency Technical Department Newsletter, Summer 1999.
- [11] A. Shirazi, Potential for implementation of energy saving measures in selected cement factories in Iran, M.Sc. Thesis, University of Flensburg, Germany, March 2002.
- [12] Cement industry handy manual prepared by UNIDO (United Nations Industrial Development Organization) 1994. Available from: <<http://www.unido.org/userfiles/puffk/cement>>.
- [13] C.A. Hendriks, E. Worell, D. Jager, K. Blok, P. Reimer, Emission reduction of greenhouse gases from the cement industry, Greenhouse Gas Control Technologies Conference Paper 2000. Available from: <<http://www.ieagreen.org>>.
- [14] W. Widianto, Thermal performance modelling of cement industries: a case study in Indonesia, AIT Thesis No. ET-89-16, Bangkok, Thailand, 1989.
- [15] Chemistry of cement. Available from: <<http://www.abdn.ac.uk/chemistry/research/dem/cemhon.doc>>.
- [16] Japanese standard JIS R0303, Heat Balancing Method for Cement Industry, 1979.
- [17] B. Mohanty, J.C. Mora, An overview of rational use of energy in industry, in: Proceedings 6th Asian School on Energy, Asian Institute of Technology, Bangkok, Thailand, 1988.
- [18] A.B. Herrera, Techno-economic evaluation of co-generation potential in two manufacturing plants in Philippines, Masters Thesis, Energy Technology Division, Asian Institute of Technology, Bangkok, Thailand, 1989.
- [19] Powergen, A power generation company throughout the world, "Plant start-up and engineering support to the power industry, 2003. Available from: <<http://www.pwrgen.com/pwrgen.html>>.
- [20] SEDA, Sustainable energy development authority, New South Wales, Australia, "Renewable energy and co-generation, 2003. Available from: <http://www.seda.nsw.gov.au/ren_cogeneration_body.asp>.
- [21] T.D. Baker, Co-generation for resort hotel, ASHRAE Transaction (Part B1) 92 (1986) 318–329.
- [22] D.C. Pedreyra, A micro-computer version of a large mainframe program for use in co-generation analysis, ASHRAE Transaction 94 (1988) 1617–1625.